

研究概要

意思決定モデル

進捗状況

結果

結果

今後の予定

評価関数の推定

【タイトル仮】

時系列データの汎化的予測モデル開発のための評価関数の推定

武藤 克弥 (Katsuya Mutoh)

u255018@st.pu-toyama.ac.jp

富山県立大学 大学院 電子・情報工学専攻 情報基盤工学部門

August 4, 2023

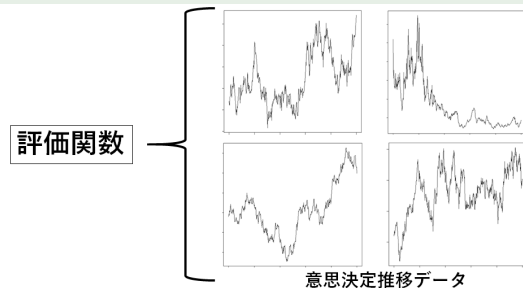
研究テーマについて

2/19

意思決定行動に関する評価関数の推定

研究の背景 (仮説)

様々な意思決定活動はある評価関数で説明できるのではないか?
= 意思決定における行動はある評価関数をもとに決定される



研究の目的

意思決定によって形成される時系列データ (金融・不動産・建設事業など) に対し、その結果の原因となった評価関数を推定するモデルを開発する。

研究概要

意思決定モデル

進捗状況

結果

結果

今後の予定

評価関数の推定

評価関数推定のメリット

- 従来予測におけるデメリットの脱却
 - 従来の時系列予測にある「データの過学習」「パラメータ推定」などを行う手間がない
- 多分野への汎用性
 - 従来は少し分野が変わるだけで応用しにくいものもある
 - 高速道路の利用需要が上昇 = 評価関数 V を最適化
→新商品の売上予測

研究の新規性

意思決定モデルの拡張
→モデル(データ)に潜む評価関数を特定

研究テーマについて

4/19

研究の流れ

- ① 意思決定モデルの構築 ←現在取り組み中
- ② 評価関数の推定手法の導入

研究概要

意思決定モデル

進捗状況

結果

結果

今後の予定

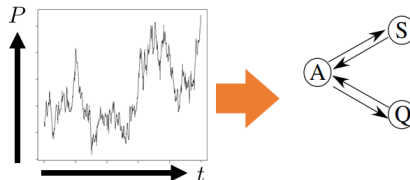
評価関数の推定

意思決定の枠組み

5/19

意思決定モデル¹

- 時系列データに応じて、利益(価値)の高くなる戦略を選択する



P : 時刻 t の状態 (価格や需要量)

確率微分方程式 (幾何ブラウン運動)

$$dP(t) = \alpha(t, P)dt + \sigma(t, P)dZ(t)$$

- $t \in [0, T]$: 意思決定期間
- $\alpha(t, P) = \alpha P$
- $\sigma(t, P) = \sigma P$
- α : ドリフト係数 (期待収益率)
- σ : 拡散係数 (ボラティリティ)
- $Z(t)$: ノイズ (1次元 Wiener 過程)

【仮定】

いずれかの戦略(アクティビティ)を選択

例) 建物の運用(3種のアクティビティ)

- A: 運用継続
S: 運用休止
Q: 更地化(解体)

時刻 t でどの戦略を取っているのが最適なのか?
→最適値関数で評価

¹長江, 赤松., 2004.

アクティビティ価値の導出

6/19

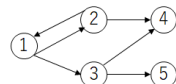
最適値関数: $V(t, P, n) = V_n(t, P)$

- 各時間 $t \in [0, T]$ で全アクティビティの価値を計算
→時間 t でどの戦略を選べば最適か分かる

$V(t, P, n)$: 時刻 t におけるアクティビティ n の将来価値

→3要素で構成 (1) 利潤: $\pi_n(t, P)$, (2) 満期利潤, (3) 推移コスト: $C_{n,m(t)}$

- $n \in \{1, 2, 3, 4, 5\}$: アクティビティ
- r : 割引率



研究概要

意思決定モデル

進捗状況

結果

結果

今後の予定

評価関数の推定

アクティビティ価値の導出

7/19

アクティビティ価値の導出²

- 同時に全アクティビティ価値は求められない
→グラフを分解して1つずつ求める

全アクティビティ導出手順 $V(t, P, n) = V_n(t, P)$

(1) 終端アクティビティの価値を求める

これ以上遷移しないアクティビティ = ④, ⑤

線形偏微分方程式

$$\mathcal{L}_{n'} V_{n'}(t, P) + \pi_{n'}(t, P) = 0 \quad \forall t \in [0, T]$$

終端条件: $V_{n'}(T, P(T)) = F_{n'}(P(T))$

偏微分作用素: $\mathcal{L}_n = \frac{\partial}{\partial t} + \frac{\partial}{\partial P} \alpha_n(t, P) + \frac{1}{2} \frac{\partial^2}{\partial P^2} \{\alpha_n(t, P)\}^2 - r$

(2) 推移先が "終端アクティビティのみ" のアクティビティの価値を求める

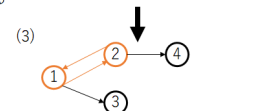
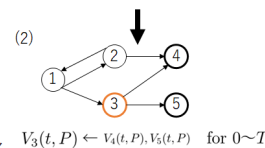
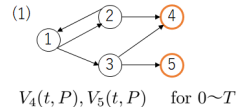
→④, ⑤をもとに③の価値を求められる

Fukushima型 merit関数による解の更新²

(3) サイクル構造内のアクティビティの価値を求める

→③, ④ (① ⇔ ②の推移先)をもとに①, ②の価値を計算

解の更新(2)と同様



²Fukushima., 1992.

現在の取り組み(概要)

8/19

意思決定モデルの再現³

- 有料道路の建設・運用事業における意思決定モデル

研究概要

意思決定モデル

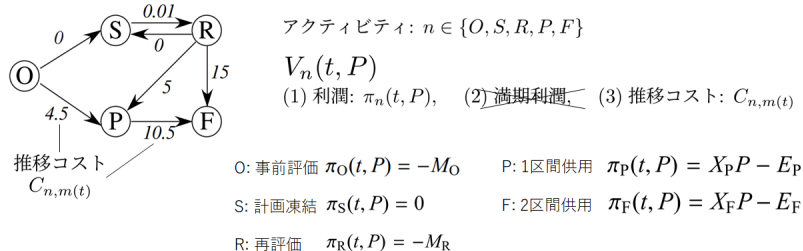
進捗状況

結果

結果

今後の予定

評価関数の推定



$$T = 20, r = 5\%, \alpha = 1\%, \sigma = 40\%$$

$$M_O = 0.02, M_R = 0.01$$

$$X_P = 0.5, E_P = 0.6, X_F = 1, E_F = 1$$

³長江, 赤松., 2004.

現在の取り組み⁴

9/19

意思決定モデルの再現

- アルゴリズムをプログラム化し、同じ結果が得られるようにする

研究概要

意思決定モデル

進捗状況

結果

結果

今後の予定

評価関数の推定

(0) 時系列(シミュレーションデータ)の準備

幾何ブラウン運動(確率微分方程式)
→株価変動モデルに使用

$$dP(t) = \alpha P(t)dt + \sigma P(t)dZ(t)$$

$t \in [0, 20]$, $r = 5\%$, $\alpha = 1\%$, $\sigma = 40\%$

解析解

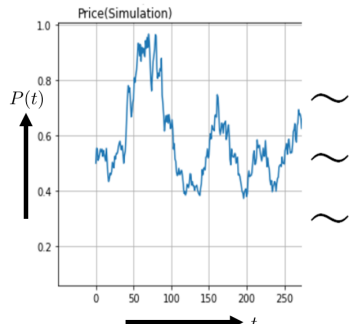
$$P(t) = P(0) \exp \left\{ \left(\alpha - \frac{1}{2} \sigma^2 \right) t + \sigma Z(t) \right\}$$

$Z(t)$: ノイズ (1次元 Wiener 過程)

$Z \sim N(0, 1)$: 標準正規分布からの抽出

$\Delta T = 20/1000$: 時間幅

$P(0) = 0.5$: 初期需要



⁴Python でやってみた (Engineering) : モンテカルロ法,
https://note.com/kiyo_ai_note/n/nfbe4c3f97e19

現在の取り組み

10/19

- 偏微分方程式を格子空間に差分(離散)化する

(1) 終端”F”の価値の導出

線形偏微分方程式

$$\mathcal{L}_n V_n(t, P) + \pi_n(t, P) = 0$$

終端条件: $V_{n'}(T, P(T)) = F_{n'}(P(T))$

$$\text{偏微分作用素: } \mathcal{L}_n = \frac{\partial}{\partial t} + \frac{\partial}{\partial P} \alpha_n(t, P) + \frac{1}{2} \frac{\partial^2}{\partial P^2} \{\sigma_n(t, P)\}^2 - r$$

 偏微分方程式の差分化

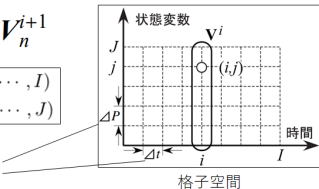
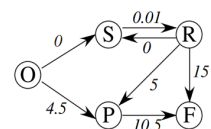
$$\mathcal{L}_n V_n(t^i, P^j) \approx L_n^i V_n^i + M_n^i V_n^{i+1}$$

$$(t, P) \simeq (t^i, P^j) = (i\Delta T, P_0 + j\Delta P) \quad \begin{array}{l} (i = 0, 1, \dots, I) \\ (j = 0, 1, \dots, J) \end{array}$$

$$I = J = 1000$$

$$\Delta T = \frac{20}{1000}, \quad \Delta P = \frac{5}{1000} : \text{格子間隔}$$

アクティビティ: $n \in \{O, S, R, P, F\}$



現在の取り組み

11/19

(1) 終端アクティビティ "F" の導出

- (0) で求めた $P(t)$ を j (空間) 方向へ離散化

研究概要

意思決定モデル

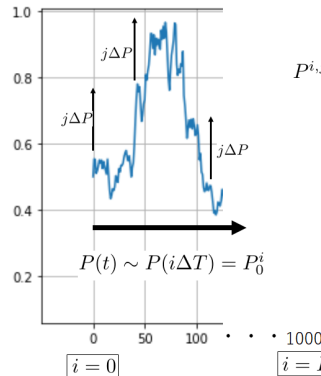
進捗状況

結果

結果

今後の予定

評価関数の推定



$$P^{i,j} = P_0^i + j\Delta P$$

$$= \begin{array}{|c|c|c|c|c|c|} \hline & & j = 0 & j = 1 & j = 2 & \cdots & j = J \\ \hline i = 0 & P_0^0 & P_0^0 + \Delta P & P_0^0 + 2\Delta P & \cdots & P_0^0 + J\Delta P \\ \hline i = 1 & P_0^1 & P_0^1 + \Delta P & P_0^1 + 2\Delta P & \cdots & P_0^1 + J\Delta P \\ \hline \vdots & \vdots & \vdots & \vdots & \ddots & \vdots \\ \hline i = I & P_0^I & P_0^I + \Delta P & P_0^I + 2\Delta P & \cdots & P_0^I + J\Delta P \\ \hline \end{array}$$

P_0^i

現在の取り組み

12/19

(1) 終端アクティビティ "F" の導出

- 期待収益率 $\alpha(t, P)$, ポラティリティ $\sigma(t, P)$, 利潤 $\pi_n(t, P)$ も離散化

$$\alpha(t, P) = \alpha P \simeq \alpha^{i,j} (= \alpha(t^i, P^j)) = \alpha(i\Delta t, P_0 + j\Delta P)$$

	$j = 0$	$j = 1$	$j = 2$	\dots	$j = J$
$i = 0$	αP_0^0	$\alpha P_0^0 + \alpha \Delta P$	$\alpha P_0^0 + 2\alpha \Delta P$	\dots	$\alpha P_0^0 + J\alpha \Delta P$
$i = 1$	αP_0^1	$\alpha P_0^1 + \alpha \Delta P$	$\alpha P_0^1 + 2\alpha \Delta P$	\dots	$\alpha P_0^1 + J\alpha \Delta P$
\vdots	\vdots	\vdots	\vdots	\ddots	\vdots
$i = I$	αP_0^I	$\alpha P_0^I + \alpha \Delta P$	$\alpha P_0^I + 2\alpha \Delta P$	\dots	$\alpha P_0^I + J\alpha \Delta P$

$$\cdot \sigma(t, P) = \sigma P \simeq \sigma^{i,j} \text{ (同様)}$$

$$\cdot \pi_n(t, P) \simeq \pi_n^i(t^i, P^j) = P^{i,j} - 1$$

$$= \begin{bmatrix} \alpha P_0^i - 1 \\ \alpha P_0^i + \alpha \Delta P - 1 \\ \alpha P_0^i + 2\alpha \Delta P - 1 \\ \vdots \\ \alpha P_0^i + J\alpha \Delta P - 1 \end{bmatrix} \quad (n = F)$$

(1) 終端アクティビティ "F" の価値導出 (本手順)

13/19

$$\frac{\partial V_n}{\partial t} + \alpha(t, P) \frac{\partial V_n}{\partial P} + \frac{1}{2} \{ \sigma(t, P) \}^2 \frac{\partial^2 V_n}{\partial P^2} - rV_n + \pi_n(t, P) = 0$$



差分化 (Crank-Nicolson法)

$$V_n^i = -(\mathbf{L}_n^i)^{-1} (\mathbf{M}_n^i V_n^{i+1} + \boldsymbol{\pi}_n^i)$$

$$\begin{aligned} a^{i,j} &= -\frac{\alpha^{i,j}}{4\Delta P} + \frac{(\sigma^{i,j})^2}{4(\Delta P)^2}, & b^{i,j} &= -\frac{1}{\Delta T} + \frac{(\sigma^{i,j})^2}{2(\Delta P)^2} - r \\ c^{i,j} &= \frac{\alpha^{i,j}}{4\Delta P} + \frac{(\sigma^{i,j})^2}{4(\Delta P)^2}, & d^{i,j} &= \frac{1}{\Delta T} + \frac{(\sigma^{i,j})^2}{2(\Delta P)^2} \end{aligned}$$

$$\begin{array}{c} \curvearrowright \\ \left[\begin{array}{c} V_n^{i,0} \\ V_n^{i,1} \\ \vdots \\ V_n^{i,J-1} \\ V_n^{i,J} \end{array} \right] = - \left[\begin{array}{ccccc} b^{i,1} & c^{i,1} & 0 & 0 & 0 \\ a^{i,2} & b^{i,2} & c^{i,3} & 0 & 0 \\ \vdots & \vdots & \vdots & \vdots & \vdots \\ 0 & 0 & a^{i,J-1} & a^{i,J-1} & b^{i,J-1} \\ 0 & 0 & 0 & b^{i,J} & c^{i,J} \end{array} \right]^{-1} \left(\begin{array}{ccccc} d^{i,1} & c^{i,1} & 0 & 0 & 0 \\ a^{i,2} & d^{i,2} & c^{i,3} & 0 & 0 \\ \vdots & \vdots & \vdots & \vdots & \vdots \\ 0 & 0 & a^{i,J-1} & d^{i,J-1} & c^{i,J-1} \\ 0 & 0 & 0 & a^{i,J} & d^{i,J} \end{array} \right) \left[\begin{array}{c} V_n^{i+1,0} \\ V_n^{i+1,1} \\ \vdots \\ V_n^{i+1,J-1} \\ V_n^{i+1,J} \end{array} \right] + \left[\begin{array}{c} \pi_n^{i,0} \\ \pi_n^{i,1} \\ \vdots \\ \pi_n^{i,J-1} \\ \pi_n^{i,J} \end{array} \right] \end{array} \\ (J \text{ 次元}) \qquad \mathbf{L}_n^i (J \times J \text{ 次元}) \qquad \mathbf{M}_n^i (J \times J \text{ 次元}) \qquad (J \text{ 次元}) \qquad (J \text{ 次元})$$

$$\begin{array}{l} \text{終端条件} \\ \mathbf{V}_n^I = \boldsymbol{\pi}_n^i(t^I, P^j) = \left[\begin{array}{c} \alpha P_0^I - 1 \\ \alpha P_0^I + \alpha \Delta P - 1 \\ \alpha P_0^I + 2\alpha \Delta P - 1 \\ \vdots \\ \alpha P_0^I + J\alpha \Delta P - 1 \end{array} \right] \end{array} \leftarrow i = I \text{ から } i = 0: \text{ 後ろ向きに } V_n^i \text{ を求めていく}$$

(2)(3) 残りのアクティビティ価値の導出(本手順)

14/19

Merit 関数⁵

● Merit 関数を実装

研究概要

意思決定モデル

進捗状況

結果

結果

今後の予定

評価関数の推定

残りアクティビティ価値を求める問題

[NCP^{i-c}] Find X_c^i such that

$$X_c^i \cdot G_c^i(X_c^i) = 0, \quad \text{and} \quad X_c^i \geq 0, \quad G_c^i(X_c^i) \geq 0.$$

Fukushima型 merit関数

[Alg-Merit]

Step 0 初期可能解 $X_c^{(1)} \in \mathcal{R}_+$, $k := 1$.

Step 1 降下方向ベクトルの決定.

$$\mathbf{d}^{(k)} := H(X_c^{(k)}).$$

Step 2 ステップ・サイズ α を, 以下の一次元探索問題の解として求める.

$$\alpha^* = \arg \min_{\alpha \in [0,1]} \Phi(X_c^{(k)} + \alpha \mathbf{d}^{(k)}).$$

Step 3 解の改訂. $X_c^{(k+1)} := X_c^{(k)} + \alpha^* \mathbf{d}^{(k)}$

Step 4 収束判定: 収束していれば停止, そうでなければ $k := k + 1$ として Step 1へ.

```
# (2) 残りのMerit関数
def getGxFromViforC(X, n):
    act_now[n][i_rev-1,:] = -(np.linalg.inv(t[i]) @ (X.T + M[i] @ act_now[n][i_rev,:]).T
                                + act_pi[n][i_rev-1,:].T).T
    On = list(act_trans[n])
    Gn_ks = []
    for ix in On:
        Gn_ks.append(act_now[n][i_rev-1,:] - act_now[ix][i_rev-1,:]
                     - np.matrix(np.full((1,), act_cost[n][ix]), dtype='float'))
    return np.minimum.reduce(Gn_ks)

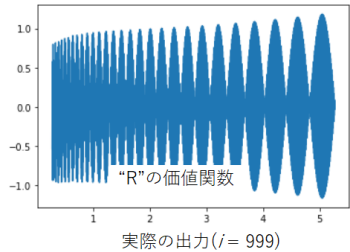
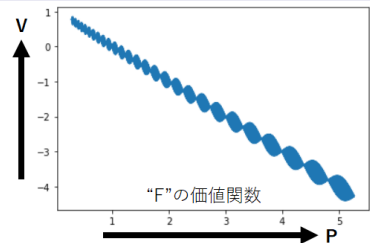
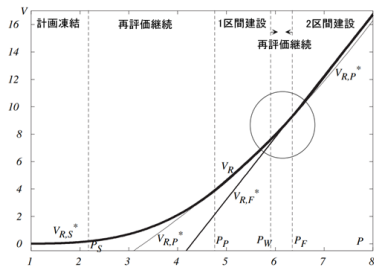
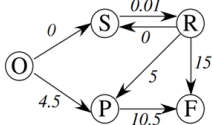
# (3) 残りのMerit関数
def getGxFromViforC(X, nc):
    act_now[nc[0]][i_rev-1,:] = -(np.linalg.inv(t[i]) @ (X.T + M[i] @ act_now[nc[0]][i_rev,:]).T
                                + act_pi[nc[0]][i_rev-1,:].T).T
    act_now[nc[1]][i_rev-1,:] = -(np.linalg.inv(t[i]) @ (X.T + M[i] @ act_now[nc[1]][i_rev,:]).T
                                + act_pi[nc[1]][i_rev-1,:].T).T
    On = list(act_trans[nc[0]])
    On2 = list(act_trans[nc[1]])

    Gn_ks = []
    for ix in On:
        Gn_ks.append(act_now[nc[0]][i_rev-1,:] - act_now[ix][i_rev-1,:]
                     - np.matrix(np.full((1,), act_cost[nc[0]][ix]), dtype='float'))
    for iy in On2:
        Gn_ks.append(act_now[nc[1]][i_rev-1,:] - act_now[iy][i_rev-1,:]
                     - np.matrix(np.full((1,), act_cost[nc[1]][iy]), dtype='float'))
    Gn_ks2.append(np.minimum.reduce(Gn_ks))
    Gn_ks2.append(np.minimum.reduce(Gn_ks2))
    return np.minimum.reduce(Gn_ks2)
```

暫定結果

15/19

- $i = 1000 \sim i = 900$ までは振動、900 以前では発散 (nan 値) した



結果の分析

16/19

振動・発散の原因

- 状態空間 P の離散化が正しくない可能性 (P11)
- 偏微分方程式の差分化→行列化の過程を自力で行い分析 (P13)

差分化の例

$$\frac{\partial U}{\partial \tau} = \frac{\partial^2 U}{\partial x^2} \xrightarrow{\text{差分化}} \frac{U_{i+1,j} - U_{i,j}}{\Delta \tau} = \frac{U_{i+1,j+1} - 2U_{i+1,j} + U_{i+1,j-1}}{(\Delta x)^2}$$

↓ 行列化

$$\begin{pmatrix} 1+2r & -r & 0 \\ -r & 1+2r & -r \\ & \ddots & \\ -r & 1+2r & -r \\ -r & -r & 1+2r \end{pmatrix} \begin{pmatrix} U_{i+1,j_{\min}+1} \\ U_{i+1,j_{\min}+2} \\ \vdots \\ U_{i+1,j_{\max}-2} \\ U_{i+1,j_{\max}-1} \end{pmatrix} = \begin{pmatrix} U_{i,j_{\min}+1} \\ U_{i,j_{\min}+2} \\ \vdots \\ U_{i,j_{\max}-2} \\ U_{i,j_{\max}-1} \end{pmatrix} + r \begin{pmatrix} 0 \\ \vdots \\ 0 \\ U_{i+1,j_{\max}} \end{pmatrix}$$

研究概要

意思決定モデル

進捗状況

結果

結果

今後の予定

評価関数の推定

今後の予定

17/19

今後の予定

- 振動・発散の原因を特定
- 評価関数推定の実装
- 研究の背景・目的を明確化

研究概要

意思決定モデル

進捗状況

結果

結果

今後の予定

評価関数の推定

ロボットの起き上がり運動獲得のための 正規化ガウス関数ネットワーク (NGnet) を用いた Actor-critic 強化学習⁶

研究概要

意思決定モデル

進捗状況

結果

結果

今後の予定

評価関数の推定

研究概要

「目標出力 $y(t)$ メートルまで頭が上がるように関節を動かす」ように学習させる

- ロボットは目標出力に達するように最適な「関節の動き」を探る
- 推定評価関数=「この動きをすれば目標出力に達する」と考えた自己評価の集約
→この関数を最適化するような行動を行う

(1) 終端 "F" の価値の導出

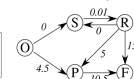
線形偏微分方程式

$$\mathcal{L}_n V_n(t, P) + \pi_n(t, P) = 0$$

終端条件: $V_n(T, P(T)) = F_n(P(T))$

$$\text{偏微分作用素: } \mathcal{L}_n = \frac{\partial}{\partial t} + \frac{\partial}{\partial P} \alpha_n(t, P) + \frac{1}{2} \frac{\partial^2}{\partial P^2} \{\sigma_n(t, P)\}^2 - r$$

アクティビティ i : $n \in \{O, S, R, P, F\}$



偏微分方程式の差分化

$$\mathcal{L}_n V_n(t^i, P^j) \approx L_n^i V_n^i + M_n^i V_n^{i+1}$$

$$(t, P) \simeq (t^i, P^j) = (i\Delta T, P_0 + j\Delta P) \quad (i = 0, 1, \dots, I) \quad (j = 0, 1, \dots, J)$$

$$I = J = 1000$$

$$\Delta T = \frac{20}{1000}, \quad \Delta P = \frac{5}{1000}$$

:格子間隔

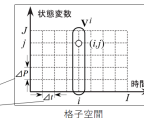


図 1: 推定評価関数と実際の行動

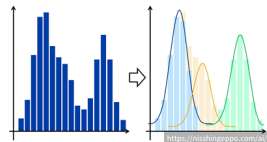
⁶森本, 銅谷., 1999.

評価関数の推定

19/19

評価関数推定の概要

研究概要
意思決定モデル
進捗状況
結果
今後の予定
評価関数の推定



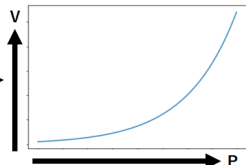
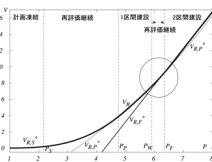
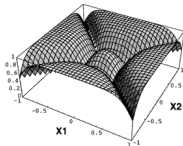
$$y(\mathbf{x}) = \sum_{k=1}^K w_k b_k(\mathbf{x})$$

基底関数

(1) 関数の設定

利潤: $\pi_n(t, P)$, 推移コスト: $C_{n,m(t)}$
 $\rightarrow b_{1,k}(\mathbf{x}) \quad b_{2,k}(\mathbf{x})$

(2) アクティビティ価値導出アルゴリズム (前々ページ)



(5) 評価関数の出力

(3) e が最小になるように w_k を更新

(4) (1)～(3)を指定回数だけ繰り返す